

△△ひび割れ制御を施したRC矩形梁のモーメント-曲率の関係について

東北大学 正 尾坂芳夫
東北大学 学 高橋直正
○東北大学 学 藤内 昭

1. まえがき

鉄筋コンクリート構造物の限界状態設計法の確立のために、部材の回転限界および△△ひび割れ進展に伴う剛性低下について明らかにしておかなければならぬ。このため、コンクリート圧縮強度、主鉄筋比、供試体寸法等、様々な変動要因について部材断面のモーメントと曲率の関係が実験的に数多く求められていく。

本実験は、複数筋断面の鉄筋コンクリート矩形梁に最大△△ひび割れ間隔、最小△△ひび割れ間隔で△△ひび割れ制御を施し、M-θ関係、韌性、剛性低下におよぼす影響を実験的に明らかにすることを目的としたものである。

2. 実験概要

(1) コンクリートおよび鉄筋

実験に使用したコンクリートの配合を表-1に示す。
載荷実験時(荷令約2週間)のコンクリート圧縮強度は、
表-2に記してある。軸方向主鉄筋は、D16・D22

ともSD35を使用した。

(2) 供試体

供試体内複数筋断面、断面寸法は $20 \times 40\text{cm}$ 、有効高さは 36cm 、スパンは 432cm とした。曲げ区間に Δ は、それぞれ最大△△ひび割れ間隔 $l_{max} = 15\text{cm}$ 、最小△△ひび割れ間隔 $l_{min} = 7.5\text{cm}$ の間隔に高さ 1.5cm のノッチを施して△△ひび割れ制御を行った。なお、△△ひび割れの定常状態に達した後の最大△△ひび割れ間隔 l_{max} の算定式としては、

$l_{max} = 5.4t$ 、ただし $e_{sh}/t > 2.5$ の場合は、 $l_{max} = 3.72 t (1 + 0.18 e_{sh})$ を参考にした。ここで、 t =かぶり e_{sh} =主鉄筋軸間隔である。なお、A-3、B-3の供試体には、ノッチを設けなかった。配筋の様子を図-1、供試体諸元を表-2に示す。

(3) 載荷および測定方法

載荷は、二点打込み載荷により、7梁に集中荷重をかけた。支点条件は、両端ともローラー支承である。

たわみ量の測定は、梁側面にセグメントで 36cm 曲げ区間に 18cm 間隔に測点を設け、電気式変位計によつて行なう。曲率は、たわみ量から差分を用いて求めた。

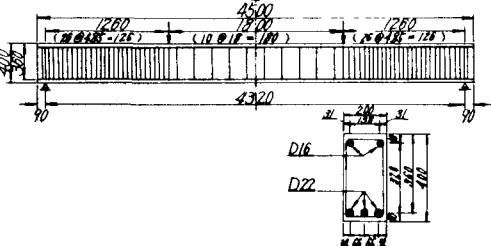
表-2 供試体諸元

供試体番号	引張主鉄筋 使用鉄筋 Pc(%)	圧縮主鉄筋 使用鉄筋 Pc(%)	P/ ρ	横方向拘束筋		計算抵抗力 P_u^c	計算耐力 P_u^s	実験耐力 P_e	実験剛性 E_e	△△ひび割れ制御方式	コンクリート 圧縮強度 (kg/cm ²)
				圧縮筋 Pc(%)	ストラップ Pc(%)						
A-1	3D22	1.613	2D16	0.552	0.342	2D16	0.720	0.319	1.029	13.34	21.18
A-2	"	"	"	"	"	"	"	"	"	14.32	22.73
A-3	"	"	"	"	"	"	"	"	"	14.00	22.23
B-1	3D22	1.613	2D22	1.075	0.666	2D22	1.390	0.321	1.711	13.39	21.25
B-2	"	"	"	"	"	"	"	"	"	15.67	24.88
B-3	"	"	"	"	"	"	"	"	"	15.82	25.11

表-1 配合表

粗骨材最大寸法 (mm)	SLUMP (cm)	AIR (%)	W/C (%)	S/a (%)	単位量 (kg/m ³)			
					W	C	G	S
20	10	15	49	40	188	384	1073	710

図-1 供試体配筋例 (Aシリーズ)
単位 mm



3. 実験結果および考察

各供試体ともひび割れ発生位置は、ノッチを取り付けたところとほぼ一致し、ひび割れ制御を行なつていれば供試体A-3, B-3のひび割れ発生状況から判断して、最大ひび割れ間隔 $l_{max} = 15\text{ cm}$, 最小ひび割れ間隔 $l_{min} = 7.5\text{ cm}$ はほぼ妥当なものと判断された。

(1) ひび割れ制御と曲率分布

引張主鉄筋降伏時、最大耐力時の梁の軸方向に対する曲率分布の一例を図-2に示す。これより、曲げ区間に亘る各荷重時の曲率分布は一様であり、引張主鉄筋降伏以前、および、降伏以後の剛性を求めるにあたっては曲げ区間での平均値を用ひることとした。

(2) ひび割れ制御とモーメント-曲率の関係

各ひび割れ制御に対するM-φ関係を、Mを無次元化して表わした一例が図-3である。それをもとに、初期ひび割れ発生時(図-4-C点)までの剛性を EI_1 、引張主鉄筋降伏時(図-4-Y点)までの剛性を EI_2 、それ以後最大耐力時(図-4-U点)までの剛性を EI_3 として、剛性低下の状況を示したもののが表-3である。これらの結果から、M-φ関係に対して当初予期されたようなひび割れ間隔による影響は認められなかつた。

初期ひび割れ発生以前の初期剛性 EI_1 の値は、ばらつきが大きくて、実際上平均値を求ることはできなかつた。よつて、M-φ関係のモデル化に際しては、引張主鉄筋降伏までの梁の剛性は一定であるとした。すなはち、降伏後の剛性低下は98%程度であった。(図-5参照)

(3) ひび割れ制御と剛性について

引張主鉄筋降伏時の曲率 ϕ_y 、最大耐力時の曲率 ϕ_u として、曲率から求めた剛性の値を表-4に示す。表より、ひび割れ間隔が小さいほど剛性は大きくなることがわかる。これは、ひび割れ間隔が小さければ、ひび割れは分散され、同一曲率に対する個々のひび割れの伸び量は小さく、その分、中立軸の位置が低くなる。このことより、

最小ひび割れ間隔での供試体の中立軸は、最大ひび割れ間隔のそれよりも遅れて上昇する。よつて、最大耐力に致するまでの曲率増加の割合 ϕ_y/ϕ_u は、実験結果のようになるのではないかと思われる。

4. あとがき

本実験では、ひび割れ制御の違いによるM-φ関係の差異は認められなかつた。すなはち、M-φ関係をbi-linearでモデル化する場合、断面降伏後の剛性は、初期剛性の2%程度にとへばよいと思われる。

図-2 曲率分布の一例(供試体A-1)

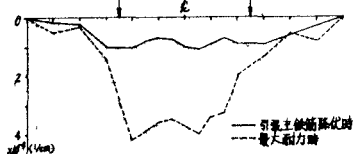


図-3 M-φ関係の一例

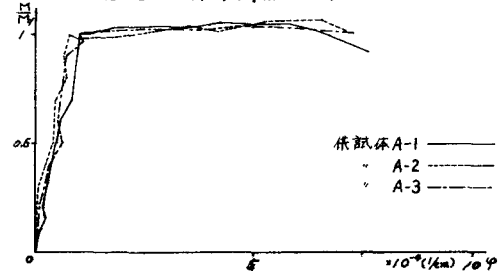


表-3 剛性低下の状況

※()内の数字は EI_2 に対する割合表示

供試体	剛性 $EI_1 (x 10^3 \text{ kg/cm}^2)$	剛性 $EI_2 (x 10^3 \text{ kg/cm}^2)$	剛性 $EI_3 (x 10^3 \text{ kg/cm}^2)$
A-1	max = 609.35 min = 9.82	15.33 (1)	0.295 (0.019)
A-2	max = 12.66 min = 2.96	13.58 (1)	0.263 (0.019)
A-3	max = 168.08 min = 7.00	14.06 (1)	0.471 (0.034)
B-1	max = 66.98 min = 8.10	14.89 (1)	0.298 (0.020)
B-2	max = 242.50 min = 7.62	14.03 (1)	0.213 (0.015)
B-3	max = 33.37 min = 14.47	12.71 (1)	0.244 (0.019)

図-4 EI_1, EI_2, EI_3

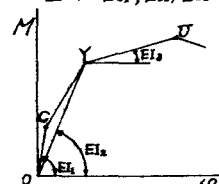


表-4 剛性 ($\%/\%$)

*測点①～⑨は曲げ区間の測定

測定点	①	②	③	④	⑤	⑥	⑦	⑧	⑨	平均値
A-1	4.07	5.24	5.45	4.67	3.61	3.73	3.78	5.11	2.19	4.21
A-2	4.29	6.99	5.43	6.16	1.92	6.83	11.46	3.23	3.93	5.58
A-3	1.63	2.65	5.55	3.42	2.33	3.51	5.76	2.38	1.20	3.16

図-5 M-φのモデル化

